

“造船抵抗理論に現われる函数の
積分表示に就いて”

昭和37年2月23日

別所正利
防衛大学校

内容：—

1. はしがり
 2. 定義
 3. 微分
 4. 積分表示
 5. 極限関係, 漸近関係
- 附録

1. はしがり
造船抵抗理論に表われる函数の解析的性質について
著者は前に論じた本があるが、横方向に抗がりを持つ
場合について一般化し得なかつた。
今日又節に示す様な一重積分表示を考えたので
この書き記す次第である。

参考文献

神中 竜雄; “船と波に關する研究” 第1章 昭和35年
丸尾 孟; 造船協会論文集 91号
R. Guilloton; S. N. A. M. E. ?
著者; 大学院研究報告 昭和30年

2. 定義

$$O_n^{(1)}(x, y, t) = \lim_{\mu \rightarrow +0} \frac{(-i)^\mu}{4\pi} \int_{-\pi}^{\pi} \int_0^\infty \frac{e^{-kt + i k(x \cos u + y \sin u)}}{k \cos^2 u - 1 + \mu i \cos u} \cos^{n+2} u \, dk du, \quad (2.1)$$

$$O_n^{(1)}(-x, y, t) = (-)^n [O_n^{(1)}(x, y, t) - 2P_n(x, y, t)], \quad (2.2)$$

$$g_n(x, y, t) = \frac{(-i)^n}{4\pi} \int_{-\pi}^{\pi} \int_0^\infty \frac{e^{-kt + i k(x \cos u + y \sin u)}}{\cos^{n+2} u} \, dk du, \quad (2.3)$$

for $x, y, t > 0$

特例 $g_{-2}(x, y, t) = -\frac{1}{2R}, \quad R^2 = x^2 + y^2 + t^2, \quad (2.4)$

$$\left. \begin{aligned} g_{-1} &= \frac{x}{2(x^2 + y^2)} \left(\frac{t}{R} - 1 \right), \\ g_{-3} &= \frac{tx}{2(t^2 + y^2)R} \end{aligned} \right\} \quad (2.5)$$

3. 微分

$$\left(\frac{\partial^2}{\partial x^2} + \frac{\partial^2}{\partial y^2} + \frac{\partial^2}{\partial t^2} \right) \begin{Bmatrix} O_n^{(1)}(x, y, t) \\ P_n(x, y, t) \end{Bmatrix} = 0, \quad (3.1)$$

$$\left(\frac{\partial^2}{\partial x^2} - \frac{\partial}{\partial t} \right) \begin{Bmatrix} O_n^{(1)}(x, y, t) \\ P_n(x, y, t) \end{Bmatrix} = \begin{Bmatrix} \frac{\partial}{\partial x} g_{n-1}(x, y, t) \\ 0 \end{Bmatrix} \quad (3.2)$$

従って又 $\left(\frac{\partial^4}{\partial x^4} + \frac{\partial^2}{\partial x^2} + \frac{\partial^2}{\partial y^2} \right) \begin{Bmatrix} O_n^{(1)} \\ P_n \end{Bmatrix} = \begin{Bmatrix} \left(\frac{\partial^2}{\partial x^2} + \frac{\partial}{\partial t} \right) g_{n-1} \\ 0 \end{Bmatrix} \quad (3.3)$

また特例 $\left. \begin{aligned} \frac{\partial}{\partial x} O_n &= O_{n-1} + g_{n-1}, \quad \frac{\partial}{\partial t} O_n = O_{n-2} + g_{n-2} \\ \frac{\partial}{\partial x} P_n &= P_{n-1}, \quad \frac{\partial}{\partial t} P_n = P_{n-2} \end{aligned} \right\} \quad (3.4)$

$$\frac{\partial}{\partial x} g_n = \frac{\partial}{\partial t} g_{n-1}, \quad (3.5)$$

等々が容易に判る。若者が参考文献に於て定義した函数は(2.1)等であり、 $y=0$ と置いたもので、此等の式は(3.1), (3.3)を除いてすべて共通の性質である。そこで其の際に得た積分表示を一般化して次の積分表示を考えて見よう。

4. 積分表示

$$\left. \begin{aligned} O_1^{(n)}(x, y, t) &= \operatorname{Re} \frac{1}{2} \int_{L_1 + L_2} e^{tv^2 - xv + iy\sqrt{v^2 + y^2}} \frac{dv}{\sqrt{v^2 + y^2}} \\ O_2^{(n)}(x, y, t) &= \operatorname{Re} \frac{-1}{2} \int_{L_1 + L_2} e^{tv^2 - xv + iy\sqrt{v^2 + y^2}} \frac{v dv}{\sqrt{v^2 + y^2}} \end{aligned} \right\} \dots (4.1)$$

但し L_1 は $[0, +0 + i\infty]$, L_2 は $[\alpha = \frac{xt - iyR}{t^2 + y^2}, +0 - i\infty]$ の様な閉積分路とする。

(2.1) の定義式から此等の式を直接導く事は取極の値が未だ成功しな"ければ"とも、(3.1), (3.2)"等を満足する事は容易に証明出来る。元々(2.1)は此の2つの微分方程式の解として定義されて"いるので"あるから、間接的には同じものである事は推定出来る。

上式で $x < 0$ とすれば α は左半面に移り、(2.2) の定義式から

$$\left. \begin{aligned} P_{2n}(x, y, t) &= (-1)^n \int_0^{\frac{\pi}{2} - t \operatorname{sech} u} e^{\sin(x \operatorname{sech} u) \cos(y \operatorname{sech} u \sin u)} \cos^{2n} u \, du \\ P_{2n+1}(x, y, t) &= (-1)^{n+1} \int_0^{\frac{\pi}{2} - t \operatorname{sech} u} e^{\cos(x \operatorname{sech} u) \cos(y \operatorname{sech} u \sin u)} \cos^{2n+1} u \, du \end{aligned} \right\} (4.2)$$

となる。一方(3.2)を満足する値から一般に

$$P_n(x, y, t) = \frac{1}{2\sqrt{\pi t}} \int_{-\infty}^{\infty} e^{-\frac{v^2}{4t}} P_n(x+v, y, 0) \, dv, \dots (4.3)$$

となる事は容易に示される。

5. 極限関係

既にのべたが"えづ"

$$\left. \begin{aligned} O_n^{(n)}(x, y, t) \\ P_n(x, y, t) \end{aligned} \right\} \xrightarrow{y \rightarrow 0} \left\{ \begin{aligned} O_n^{(0)}(x, t) \\ P_n(x, t) \end{aligned} \right\} \dots (5.1)$$

次に $t=0$ とおくと(4.1)において

$$\alpha = -i \frac{\sqrt{x^2 + y^2}}{y},$$

であるから

$$\begin{aligned}
 Q_1^{(1)}(x, y, 0) &= \frac{1}{2} \int_0^{\frac{\pi}{2}} e^{-y \operatorname{sh} \theta \cos \theta} \sin(x \operatorname{sh} \theta) d\theta + \frac{1}{2} \int_0^{\infty} \cos(x \operatorname{ch} u + \frac{y}{2} \operatorname{sh} 2u) du \\
 &\quad + \frac{1}{2} \int_{\operatorname{sh}^{-1} \frac{x}{y}}^{\infty} \cos(x \operatorname{ch} u - \frac{y}{2} \operatorname{sh} 2u) du \\
 &= \frac{1}{2} \int_0^{\infty} e^{-x \operatorname{sh} u} \cos(\frac{y}{2} \operatorname{sh} 2u) du + \frac{1}{2} \int_{\operatorname{sh}^{-1} \frac{x}{y}}^{\infty} \cos(x \operatorname{ch} u - \frac{y}{2} \operatorname{sh} 2u) du \quad \dots (5.2)
 \end{aligned}$$

$$Q_2^{(1)}(x, y, 0) = -\frac{1}{2} \int_0^{\infty} e^{-x \operatorname{sh} u} \cos(\frac{y}{2} \operatorname{sh} 2u) \operatorname{sh} u du - \frac{1}{2} \int_{\operatorname{sh}^{-1} \frac{x}{y}}^{\infty} \sin(x \operatorname{ch} u - \frac{y}{2} \operatorname{sh} 2u) \operatorname{ch} u du \quad \dots (5.3)$$

等となし、特に $x=0$ とおくと

$$\begin{aligned}
 Q_1^{(1)}(0, y, 0) &= \frac{1}{2} \int_0^{\infty} \cos(\frac{y}{2} \operatorname{sh} v) dv = \frac{1}{2} K_0(\frac{y}{2}), \\
 Q_2^{(1)}(0, y, 0) &= \frac{1}{2} \int_0^{\frac{\pi}{2}} e^{-\frac{y}{2} \operatorname{sh} 2\theta} \sin \theta d\theta = \frac{1}{2} E(\frac{y}{2}), \quad \dots (5.4)
 \end{aligned}$$

但し $E(z) = \frac{e^{-z}}{\sqrt{z}} \int_0^{\sqrt{z}} e^{u^2} du = \left(\frac{2}{\pi}\right) \sum_{n=0}^{\infty} \frac{(-z)^n}{\Gamma(n+\frac{3}{2})} \Rightarrow \frac{1}{2z} \sum_{n=0}^{\infty} \frac{\Gamma(n+\frac{1}{2})}{\sqrt{\pi} z^n}$

この後の式は直接項別積分に置かざるを得ない。
又 (4.2) から

$$\begin{aligned}
 P_1(0, y, 0) &= \int_0^{\frac{\pi}{2}} \cos(y \operatorname{sh} u \operatorname{ch} u) \operatorname{ch} u du = \int_0^{\infty} \cos(\frac{y}{2} \operatorname{sh} 2u) du = \frac{1}{2} K_0(\frac{y}{2}) \\
 P_2(0, y, 0) &= 0 \quad \dots (5.5)
 \end{aligned}$$

6. 漸近関係

変数が充分大きい時には漸近展開がある。 Q_n については4節の積分表示から導けるが、直接 (2.1) の $X(\operatorname{ch} u - 1)$ を展開して項別積分すれば容易である。

即ち

$$Q_n^{(1)}(x, y, t) \approx - \sum_{m=0}^{\infty} \left(\frac{\partial}{\partial t}\right)^m Q_{n+2m}^{(1)}(x, y, t), \quad \dots (6.1)$$

特に

$$\begin{aligned}
 Q_1^{(1)}(x, y, t) &\approx -\rho_{-1} = \frac{x}{2(x^2+y^2)} \left[1 - \frac{t}{R}\right], \\
 Q_2^{(1)}(x, y, t) &\approx -\rho_{-2} = \frac{1}{2R}, \quad \dots (6.2)
 \end{aligned}$$

P 関数数の場合は (4.3) を考えれば、 $P_n(x, y, 0)$ が判別でき、又此の場合にはよく知られている形にケルビニ関数系を導く。

此處では $P_1(x, y, 0)$ について意味ある展開を示しておこう。
 とす

$$\cos(xchu) = \sum_{n=0}^{\infty} (-1)^n \varepsilon_n J_{2n}(x) \operatorname{ch} 2nu, \quad \varepsilon_n = \begin{cases} 1 & \text{for } n=0 \\ 2 & \text{for } n \geq 1 \end{cases}$$

$$\int_0^{\infty} \cos\left(\frac{y}{2}shu\right) \operatorname{ch} nu \, du = \cos\left(\frac{\pi}{2}\right) K_n\left(\frac{y}{2}\right),$$

よって

$$P_1(x, y, 0) = \int_0^{\infty} \cos(xchu) \cos\left(\frac{y}{2}sh2u\right) du$$

$$= \frac{1}{2} \sum_{n=0}^{\infty} (-1)^n \varepsilon_n J_{4n}(x) K_{2n}\left(\frac{y}{2}\right), \quad \dots (6.3)$$

又

$$\cos\left(\frac{y}{2}sh2u\right) = \sum_{n=0}^{\infty} (-1)^n \varepsilon_n \operatorname{ch} 4nu I_{2n}\left(\frac{y}{2}\right),$$

$$\int_0^{\infty} \cos(xchu) \operatorname{ch} 4nu \, du = -\frac{\pi}{2} Y_{4n}(x),$$

故に

$$P_1(x, y, 0) = -\frac{\pi}{2} \sum_{n=0}^{\infty} (-1)^n \varepsilon_n I_{2n}\left(\frac{y}{2}\right) Y_{4n}(x), \quad \dots (6.4)$$

此の(6.4)式は収斂しない事は容易に判るが、 $\frac{x^2}{4y} \gg 1$ の時に有用である様に見える。

一方(6.3)式は $\frac{x^2}{4y} < \infty$ での収斂級数を与えた事は注目すべきである。

又同様な展開法を(5.2), (5.3)の右辺を1項に適用出来るであろう。

以上。

附録A. P_1 函数の積分表示

その後少しく(6.3)及び(6.4)の展開式で計算して見た所一致があまりよくないの2(6.3)式が収斂して $P_1(x, y, t)$ になるかという事は積分範囲がとられる。

又其の後少しく、積算した結果迄の積分表示を2の2記す。

一 形式は

$$P_1(x, y, t) = \frac{\text{Re}}{2} \int_{-\infty}^{\infty} e^{-tch^2u + \frac{i}{2}ghzu + ixchu} du \quad \dots (A.1)$$

→ $\rho = \frac{\sqrt{t^2 + y^2}}{2}, \tan \delta = \frac{y}{t}, y > 0, t > 0, x > 0,$

よって $e^{-tch^2u + \frac{i}{2}ghzu} = e^{-\frac{t}{2} - \rho ch(u-i\delta)} = e^{-\frac{t}{2}} \sum_{n=0}^{\infty} \epsilon_n (-1)^n I_n(\rho) ch_n(u-i\delta)$

一方 $I_n(\rho) = \frac{e^{\rho}}{\sqrt{2\pi\rho}} \int_0^{\infty} e^{-\frac{v^2}{2\rho}} J_{2n}(v) dv$ である。

$$= \frac{e^{-\frac{t}{2} + \rho}}{\sqrt{2\pi\rho}} \int_{-\infty}^{\infty} e^{-\frac{v^2}{2\rho} - ivch(u-\frac{i\delta}{2})} dv$$

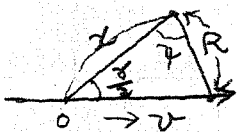
これに2の積分は

$$\frac{\text{Re}}{2} \int_{-\infty}^{\infty} e^{-ivch(u-\frac{i\delta}{2}) + ixchu} du = \frac{\text{Re}}{2} \int_{-\infty}^{\infty} e^{iR\cos(u-i\delta)} du$$

$x - v\cos\frac{\delta}{2} = R\cos\psi, v\sin\frac{\delta}{2} = R\sin\psi$

であるから $u - \text{ph.}$ の path を $i\psi$ にした"けす"らせん。

$$= -\frac{\pi}{2} Y_0(R), \quad R^2 = x^2 + v^2 - 2xv\cos\frac{\delta}{2}$$



従って

$$P_1(x, y, t) = -\frac{\sqrt{t}}{4\sqrt{2\rho}} e^{-\frac{t}{2} + \rho} \int_{-\infty}^{\infty} e^{-\frac{v^2}{2\rho}} Y_0(R) dR, \quad \dots (A.2)$$

かゝる Y_0 を加法定理で展開して逐別積分すれば、(6.3)式又は(6.4)の形の展開が与えられる。

即ち $P_1(x, y, t) = -\frac{\pi}{2} e^{-\frac{t}{2}} \sum_{n=0}^{\infty} \epsilon_n I_n(\rho) Y_{2n}(x) \cos n\delta, \quad \dots (A.3)$

$$P_1(x, y, t) = \frac{e^{-\frac{t}{2}}}{2} \sum_{n=0}^{\infty} (-1)^n \epsilon_n K_n(\rho) J_{2n}(x) \cos n\delta, \quad \dots (A.4)$$

特異 $P_1(0, y, t) = \frac{e^{-\frac{y^2}{4t}}}{2} K_0(y), \dots \dots \dots (A.5)$

附録 B $P_1(x, y, 0)$ の漸近展開について

此の問題は従来詳しい計算が与えられたので、部分点法を利用して少し詳しく予論している。(Watson p. 235 参照)

$P_1(x, y, 0) = \frac{R_0}{2} \int_{-\infty}^{\infty} e^{i y f(u)} du, \dots \dots \dots (B.1)$

但し $f(u) = \text{sh} \psi \text{ch} u - \frac{1}{2} \text{sh} 2u, \dots \dots \dots (B.2)$
 $\text{sh} \psi = \frac{x}{y},$

定常点は $f'(u) = 0$ で与えられるべきとき

$[e^{i y f(u)}]_{u=\alpha} = \frac{1}{\sqrt{2}} e^{\pm i \psi},$ 但し $\text{sh} \psi = \frac{x}{y} = \sqrt{2} \text{ch} \psi, \dots (B.3)$

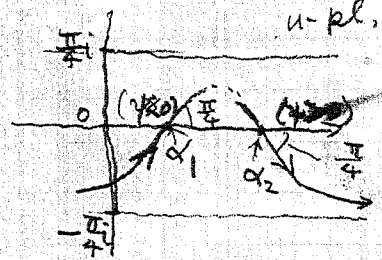
1根に2点があるの、2根の異なる2つの case がある事になる。
 為此の時2根になる。

$f(\alpha) = \frac{\text{ch}^3 \alpha}{\text{sh} \alpha}, f''(\alpha) = \frac{\text{ch} \alpha}{\text{sh} \alpha} (1 - 2 \text{sh}^2 \alpha), f'''(\alpha) = -3 \text{ch} 2\alpha, \dots (B.4)$

I) $\frac{x}{y} = \text{sh} \psi > \sqrt{2}, \psi: \text{実数}, f(\alpha)$ も実数。

$f''(\alpha) = -2\sqrt{2} + e^{2\psi} \text{sh} \psi, f'''(\alpha) = -3(1 + e^{\pm 2\psi}),$

従って path は、下図の様に与らばよい。



$F(u) = f(u+\alpha) - f(\alpha) = 0 u^2 [1 + C_1 u + C_2 u^2 + \dots], \dots (B.5)$

$C_0 = \frac{1}{2} f''(\alpha), C_1 C_0 = \frac{1}{3} f'''(\alpha), C_0 C_2 = \frac{f^{(4)}(\alpha)}{12},$

よおすは $\frac{dF}{dH} = \sum_{n=0}^{\infty} a_n H^{\frac{n-1}{2}}, \dots \dots \dots (B.6)$

の形に展開出来よう。従って

$a_n = \frac{1}{2\pi i} \int \frac{dF}{dH} \frac{dH}{H^{\frac{n+1}{2}}} = \frac{1}{2\pi i} \oint \frac{dF}{H^{\frac{n+1}{2}}}, \dots (B.7)$

然して、実軸の上下の path で $\arg(F)$ は 2π だけ変わるから。

(B.6) から $\frac{1}{2} \frac{d}{dF} (v_1 - v_2) = \sum_{n=0}^{\infty} a_{2n} F^{n-\frac{1}{2}}$

∴ (B.5) から $a_0 = \sqrt{c_0}$, $a_2 = \frac{\frac{1}{2} c_1^2 - \frac{1}{2} c_2}{c_0^2}$, } (B.8)

此れ等の式から

$$P_1 = \frac{\text{Re}}{2} \left[e^{i\gamma f(\alpha)} \int_0^{\infty} e^{\frac{i\gamma F}{2}} \frac{d}{dF} (v_1 - v_2) dF \right] + [\quad]_{\alpha_2}$$

$$= \left[\text{Re} e^{i\gamma f(\alpha)} \sum_{n=0}^{\infty} a_{2n} \int_0^{\infty} e^{-\frac{\gamma T}{2} n - \frac{1}{2} dT} \cdot e^{\frac{(n+\frac{1}{2})\pi i}{2}} dT \right]_{[\alpha=\alpha_1] + [\alpha=\alpha_2]}$$

$$= \left[\text{Re} e^{i\gamma f(\alpha)} \sum_{n=0}^{\infty} a_{2n} e^{\frac{(n+\frac{1}{2})\pi i}{2}} \frac{\Gamma(n+\frac{1}{2})}{\gamma^{n+\frac{1}{2}}} \right]_{[\alpha=\alpha_1] + [\alpha=\alpha_2]}$$

$\alpha = \alpha_1 (\gamma < 0)$ では $f'' > 0$ である。
 然し $\alpha = \alpha_2 (\gamma > 0)$ では $f'' < 0$ である。
 ∴ $a_{2n} = |a_{2n}| e^{-(n+\frac{1}{2})\pi i}$ とおくと

$$P_1 = \left[\text{Re} e^{i\gamma f(\alpha_1)} \sum_{n=0}^{\infty} (-1)^n |a_{2n}| e^{\frac{(n+\frac{1}{2})\pi i}{2}} \frac{\Gamma(n+\frac{1}{2})}{\gamma^{n+\frac{1}{2}}} \right]_{\alpha=\alpha_1 (\gamma < 0)}$$

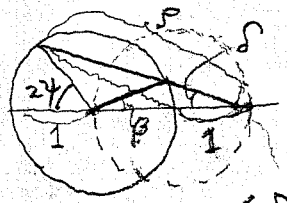
$$+ \left[\text{Re} e^{i\gamma f(\alpha_2)} \sum_{n=0}^{\infty} (-1)^n |a_{2n}| e^{-\frac{(n+\frac{1}{2})\pi i}{2}} \frac{\Gamma(n+\frac{1}{2})}{\gamma^{n+\frac{1}{2}}} \right]_{\alpha=\alpha_2 (\gamma > 0)}$$

(B.9)

II) $\frac{x}{y} = \text{sh} \psi < \sqrt{8}$, の場合 ψ は虚数となる。

∴ $\text{sh} \psi = \sqrt{8} \cos \psi$, $\text{sh} \alpha_1 = \frac{1}{\sqrt{2}} e^{-i\psi}$ とおくと

更には $2 + e^{-2i\psi} = \rho e^{-i\delta}$, $\rho = \sqrt{5 + 4 \cos 2\psi}$, $e^{2i\delta} = \frac{2 + e^{2i\psi}}{2 + e^{-2i\psi}}$



$0 \leq \delta \leq \frac{\pi}{2}$

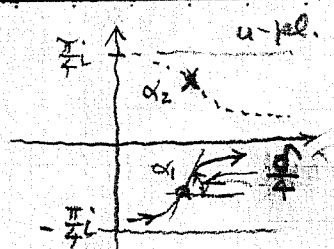
$$f(\alpha_1) = \frac{\rho^{\frac{3}{2}}}{2} e^{(\psi - \frac{3}{2}\delta)i}$$

$$f''(\alpha_1) = 2i\sqrt{\rho} e^{-\frac{\delta}{2}i} \sin \psi$$

$$f'''(\alpha_1) = -3(1 + e^{-2i\psi})$$

(B.10)

此處に幾何学的に $\beta > \delta$, $\beta = 2(\psi - \delta)$ ∴ $\psi > \frac{3}{2}\delta$ 故に
 $\int \{f(\alpha_1)\} > 0$ となるので、(B.10) の path に沿って積分する。



上と全く同じ方針で (B.8) から

$$P_1 = \text{Re} \left[e^{iyf(\alpha_1)} \sum_{n=0}^{\infty} (-1)^n a_{2n} e^{(\frac{n}{2} + \frac{1}{4})\pi i} \frac{\Gamma(\frac{n+1}{2})}{y^{n+\frac{1}{2}}} \right], \quad \dots (B.11)$$

をうる。 (B.9) の場合 a_{2n}, a_{2n+1} は実数であったので、此處では (B.10) から 結局 a_{2n} は複素数値をとる。

特に $a_0 = \frac{1}{\sqrt{20}} = \sqrt{\frac{2}{f'''(\alpha_1)}} = e^{\frac{(\frac{3}{4}-\pi)i}{4}} / \rho^{\frac{1}{4}} \sqrt{\sin \frac{\pi}{4}},$

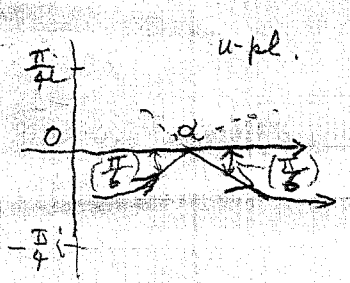
III) $\frac{y}{x} = \sinh \psi = \sqrt{3}, \psi = 0$ である。

$f(x) = \frac{3\sqrt{3}}{2}, f'(x) = f''(x) = 0, f'''(x) = -6, f^{(4)}(x) = -6\sqrt{3}, f^{(5)}(x) = -30,$ 等がえられる。

よって $H(v) = f(v+\alpha) - f(\alpha) = \frac{v^3}{6} f'''(\alpha) + \frac{v^4}{24} f^{(4)}(\alpha) + \frac{v^5}{120} f^{(5)}(\alpha) = -v^3(1 + C_1 v + C_2 v^2 + \dots) \quad \dots (B.12)$

$\frac{dv}{dH} = \sum_{n=0}^{\infty} a_n (-H)^{\frac{n-2}{3}}, a_n = -\frac{1}{2\pi i} \oint \frac{dv}{(-H)^{\frac{n+1}{3}}}$

path は、上図) の如くとれば "よ" から



u-pl. $\frac{1}{2} \frac{dv}{dH} (v_1 - v_2) = i \sum a_n e^{-\frac{(n-2)\pi i}{3}} \sin(\frac{(n-2)\pi}{3}) (-H)^{\frac{n-2}{3}}$

よって,

$P_1 = \text{Re} - e^{iyf(\alpha)} \sum a_n e^{-\frac{(n-2)\pi i}{3}} \sin(\frac{(n-2)\pi}{3}) \int_0^{\infty} e^{-y t^{\frac{n-2}{3}}} t^{\frac{n-2}{3}} dt$

$\therefore P_1 = \text{Re} \left[e^{iyf(\alpha)} \sum_{n=0}^{\infty} a_n e^{-\frac{n\pi i}{3}} \sin(\frac{(n-2)\pi}{3}) \frac{\Gamma(\frac{n+1}{3})}{y^{\frac{n+1}{3}}} \right] \quad \dots (B.13)$

特に $a_0 = -1, a_1 = +\frac{2}{3} C_1 = -\frac{f^{(4)}(\alpha)}{36} = \frac{1}{2\sqrt{3}},$

以上の展開の内、従来おめられているものは I) は III) の
 才一項のみである。此等の式で計算するとよく判る事であるが
 I) と III) は滑らかに接続しない。此の事は path を見ると
 よく判る。此の中間的な領域を見よう。

$$F(v) = f(v+\alpha) - f(\alpha) = \frac{v^2}{2} f''(\alpha) + \frac{v^3}{6} f'''(\alpha) \quad (B.14)$$

とおいて見ると $f'(\alpha) = 0$, $f(\alpha) \doteq \frac{3\sqrt{3}}{2}$, $f'''(\alpha) \doteq -6$,
 $f''(\alpha) \doteq \pm 2\sqrt{3} \alpha h^2$

と存る。今 $u = v + \frac{f''(\alpha)}{f'''(\alpha)}$, とおくと。

$$F(u - \frac{f''}{f''''}) = p - bu^3 + 3cu, \quad (B.15)$$

但し $p = \frac{(f''')^3}{3(f''')^2}$, $b = -\frac{f''''}{6}$, $c = -\frac{(f'')^2}{6f''''}$

よって $P_1 = \frac{\text{Re}}{3} e^{i\gamma(f(\alpha)+p)} \int_{-\infty}^{\infty} e^{i\gamma(-bu^3+3cu)} du$

さて I) b, c が正の実数ならば Airy の積分に依りて

$$P_1 = \text{Re} \frac{e^{i\gamma(f+p)}}{3\sqrt{b\gamma}} \int_0^{\infty} \cos(t^3 - 3\frac{c\gamma^{\frac{2}{3}}}{\sqrt{b}} t) dt$$

$$= \text{Re} e^{i\gamma(f+p)} \cdot \frac{\pi}{3} \left(\frac{q}{2b\gamma}\right)^{\frac{1}{3}} \left\{ J_{\frac{1}{3}}(q) + J_{-\frac{1}{3}}(q) \right\} \quad (B.16)$$

但し $q = \frac{4}{\sqrt{6}} |p|$, $p = \frac{(f'')^3}{3(f''')^2}$, $b \doteq 1$, $f \doteq \frac{3\sqrt{3}}{2}$,
 $p \doteq \frac{2}{3\sqrt{3}} \alpha h^3 \gamma$

$f'' \geq 0$ に拘らず同じ式になるので 此れは次の形に
 2方からよかう

$$P_1 = \frac{\pi}{3} \cos(\gamma f) \cos(\gamma p) \sqrt[3]{\frac{q}{2b\gamma}} \left[J_{\frac{1}{3}}(q) + J_{-\frac{1}{3}}(q) \right] \quad (B.17)$$

但し $x > \sqrt{8}\gamma$

II) $x < \sqrt{y}$ ならば ψ は 虚数 となる。此の時 path は
 前と同様 $\rho\{p\} > 0$ の極は 同じ である。
 $f''(\alpha) = +i2\sqrt{3}\sin\psi$, ψ : real, positive

(B-16) において

$$\rho = -4\rho_1, \quad |\rho_1| = \frac{|f''|^3}{3|f'''|^2} > \rho = |\rho_1| e^{\frac{3}{2}\pi i}, \quad |\rho_1| = \frac{y}{\sqrt{3}} |\rho|,$$

"とあけは"

$$\rho^{\frac{1}{3}} \left\{ J_{\frac{1}{3}}(\rho) + J_{-\frac{1}{3}}(\rho) \right\} = \left\{ I_{-\frac{1}{3}}(|\rho_1|) - I_{\frac{1}{3}}(|\rho_1|) \right\} |\rho_1|^{\frac{1}{3}} =$$

$$= |\rho_1|^{\frac{1}{3}} \left(\frac{2}{\pi} \sin \frac{\pi}{3} \right) K_{\frac{1}{3}}(|\rho_1|),$$

であるから (B-16) から

$$P_1 = \text{Re} \frac{e^{-1\rho_1 y + iyf}}{\sqrt{3}} \cdot \sqrt[3]{\frac{|\rho_1|}{2by}} \cdot K_{\frac{1}{3}}(|\rho_1|), \quad \dots (B-18)$$

附録 C $O_1(x, y, 0)$ の漸近展開

O_1 函数の計算は A に示した極座標表示から (5.2) 等
 から計算するのが恐らく最も簡単である。

此處ではその漸近展開を考へよう。

(5.2) から

$$O_1(x, y, 0) = \frac{1}{2} \{ I + II \}, \quad \dots (C.1)$$

$$I = \text{Re} \int_0^{\infty} e^{-y g(u)} du,$$

$$II = \text{Re} \int_y^{\infty} e^{iy f(u)} du, \quad \text{sh}\psi = \frac{x}{y}$$

但し

$$\left. \begin{aligned} g(u) &= \text{sh}\psi \text{sh}\psi - \frac{1}{2} \text{sh}2u, \\ f(u) &= \text{sh}\psi \text{ch}u - \frac{1}{2} \text{sh}2u, \end{aligned} \right\} (C.2)$$

I) 積分 I

$$g(0) = 0, \quad g(u) = u f'(0) + \frac{u^2}{2} f''(0) + \frac{u^3}{6} f'''(0) + \dots (C.3)$$

$$\frac{du}{df} = \sum_{n=0}^{\infty} a_n f^n, \quad a_n = \frac{1}{2\pi i} \oint \frac{du}{f^{n+1}},$$

$$a_0 = 1/f'(0),$$

$$I = \operatorname{Re} \int_0^{\infty} e^{-y\varphi} \frac{du}{dy} dy = \operatorname{Re} \sum_{n=0}^{\infty} \frac{n! a_n}{y^{n+1}} \quad (C.4)$$

$$f(0) = \operatorname{sh}\varphi - i, \quad f'(0) = 0, \quad f''(0) = \operatorname{sh}\varphi - 4i$$

$$a_0 = \frac{1}{2}(\operatorname{sh}\varphi - i), \quad a_{2n+1} = 0, \quad a_2 = -\frac{1}{2} f'' / (f')^3, \dots$$

II) 積分 II

$$f(\varphi) = 0, \quad f'(\varphi) = -\operatorname{ch}^2\varphi, \quad f''(\varphi) = -\frac{3}{2} \operatorname{sh}2\varphi, \quad f'''(\varphi) = -4 - 7 \operatorname{sh}2\varphi, \quad (C.5)$$

$$\frac{df}{du} = \sum_{n=0}^{\infty} a_n f^n, \quad a_n = \frac{1}{2\pi i} \oint \frac{du}{f^{n+1}}$$

$$II = \operatorname{Re} \int_0^{\infty} e^{iyf(u)} \frac{du}{df} df = \operatorname{Re} \sum_{n=0}^{\infty} a_n i^{n+1} \int_0^{\infty} e^{-\frac{y}{2} \tau} \tau^n d\tau$$

$$= \operatorname{Re} \left[\sum_{n=0}^{\infty} a_n i^{n+1} \frac{n!}{y^{n+1}} \right], \quad (C.6)$$

$$f(u+\varphi) = u f'(\varphi) + \frac{u^2}{2} f''(\varphi) + \frac{u^3}{6} f'''(\varphi)$$

$$a_0 = \frac{1}{f'(\varphi)}, \quad a_1 = \frac{f''(\varphi)}{\{f'(\varphi)\}^3}, \dots$$

等 2" あり 2 a_n は常に 2" ありから。

$$II = \sum_{n=0}^{\infty} (-i)^{n+1} \frac{(2n+1)!}{y^{2n+2}} a_{2n+1}, \quad (C.7)$$

となる。
 3" あり 2

$$\left. \begin{aligned} I &= O\left(\frac{1}{y}\right) \\ II &= O\left(\frac{1}{y^2}\right) \end{aligned} \right\} \quad (C.8)$$

12" あり

2" あり。

以上、